

# ЭФФЕКТИВНЫЙ РАЗМАГНИЧИВАЮЩИЙ ФАКТОР КВАЗИМОНОКРИСТАЛЛИЧЕСКИХ И ГРАНУЛИРОВАННЫХ ТОНКИХ ДИСКОВ $\text{YBa}_2\text{Cu}_3\text{O}_{7-x}$

**X. P. Ростами\***

*Институт радиотехники и электроники Российской академии наук  
141190, Фрязино, Московская обл., Россия*

Поступила в редакцию 25 февраля 2005 г.

При использовании захваченного магнитного потока в качестве тестирующего поля выделен и измерен с помощью датчика Холла эффективный размагничивающий фактор  $n_{eff}$  квазимонокристаллических и гранулированных тонких дисков  $\text{YBa}_2\text{Cu}_3\text{O}_{7-x}$  с разными высотами краевого барьера, объемными пиннингами и размагничиванием. С ростом захваченного магнитного потока обнаружен максимум зависимости  $n_{eff}$  от внешнего поля, качественно не меняющийся при существенном изменении морфологии образца. Показано, что в случае различия примерно на полтора порядка плотности внутригранульных и межгранульных критических токов размагничивающий фактор  $n_{eff}$  в основном определяется геометрией образца, а не энергией джозефсоновской связи между гранулами. Экспериментальные данные согласуются с результатами расчетов в рамках предлагаемой модели «изолированных» кристаллитов (гранул).

PACS: 74.25.Ha, 74.25.Qt, 74.25.Sz

## 1. ВВЕДЕНИЕ

В последнее время для построения обобщенной модели критического состояния сверхпроводников второго рода интенсивно изучаются нелокальные эффекты, эффекты размагничивания, эффекты объемного и краевого пиннинга магнитного потока в высокотемпературных сверхпроводниках (ВТСП) (см., например, [1–6]). Обнаружено, что эти эффекты в ВТСП-пластинах и пленках приводят к отклонению распределения профиля потока и плотности тока от модели Бина [7]. В связи с этим значительный интерес представляют вопросы а) трансформации размагничивающего фактора образца с ростом внешнего магнитного поля ( $H_0$ ) [8, 9], когда после проникновения поля в образец единым макроскопическим размагничивающим фактором образца  $n$  становится эффективный размагничивающий фактор  $n_{eff}$ , являющийся интегральным размагничивающим фактором отдельных кристаллитов (гранул); б) влияния  $n_{eff}$  образца на

1) процессы проникновения (выхода), распределения и захвата магнитного потока;

- 2) перераспределение плотности тока в образце;
- 3) процесс перехода [10] от области полей установления критического состояния в джозефсоновской среде [11, 12] до области полей установления критического состояния внутри отдельных кристаллитов (гранул) [10, 13];
- 4) степени проявления перечисленных выше эффектов;
- 5) формирование макроскопических параметров ВТСП-образцов.

Зависимость полей размагничивания от истории образца и конфигурации захваченного магнитного потока [14, 15] и определение размагничивающего фактора образца с захваченным магнитным потоком [2] также до сих пор слабо изучены.

Обычно, при анализе процессов, происходящих в джозефсоновской среде, во избежание сложностей, связанных с учетом размагничивающего фактора кристаллитов (гранул), предполагается, что в ВТСП-образцах все гранулы имеют одинаковый размер, форму бесконечно длинных цилиндров [13, 16] либо бесконечных тонких пластин [17] в продольном поле.

В данной работе предлагается и демонстриру-

\*E-mail: rost18@yandex.ru

ется способ экспериментального измерения  $n_{eff}$ . В плотных, почти плавленых ВТСП-образцах,  $n_{eff}$  в основном определяются суммарным размагничивающим фактором кристаллитов (гранул). Известно [18], что критический ток в ВТСП-керамиках и поликристаллах при 77.4 К в полях до 100 Э убывает более чем на два порядка. В случае, когда локальные поля рассеяния абрикосовских вихрей, захваченных в кристаллите (гранулы), превышают характерное поле  $H_{0m}$  подавления межкристаллитного (межгранульного) критического тока  $J_{cJ}^1$ <sup>1)</sup>, происходит разрушение слабых связей. В процессе захвата образцом магнитного потока и с ростом этого захвата можно проследить динамику образования «изолированных» конгломератов кристаллитов (гранул), либо невзаимодействующих между собой [13, 19] одинаково намагниченных кристаллитов (гранул) [10], или их сочетания. Намагниченность образца  $\mathbf{I} = V^{-1} \Sigma \mathbf{M}_g$  будет определяться экранирующими сверхтоками, образованными внутри отдельных кристаллитов (гранул),  $\mathbf{J}_{cg} = c \cdot \text{rot } \mathbf{M}_g$  (где  $V$  — объем образца,  $\mathbf{M}_g$  — магнитный момент,  $c$  — скорость света) [20].

Как известно, внутреннее поле в образце [21]

$$H_i = H_0 - H_D. \quad (1)$$

Чем больше намагниченность образца  $4\pi n\mathbf{I}$ , тем сильнее поле размагничивания  $H_D$ . Для определения зависимости  $n_{eff}$  от плотности захваченного магнитного потока  $B_{tr}$  и  $H_0$  в двух близких режимах ZFC<sub>1</sub> и ZFC<sub>2</sub> (объяснение см. ниже) проведем намагничивание образца так, чтобы  $B_{tr}^{ZFC_2} > B_{tr}^{ZFC_1}$ . Величины полей определяются формулами

$$H_{i2} = H_0 - 4\pi n_{eff} B_{tr}^{ZFC_2} \quad (2)$$

$$H_{i1} = H_0 - 4\pi n_{eff} B_{tr}^{ZFC_1}. \quad (3)$$

Вычтем друг из друга уравнения (2) и (3) и получим

$$n_{eff} = \frac{H_{i1} - H_{i2}}{4\pi(B_{tr}^{ZFC_2} - B_{tr}^{ZFC_1})}. \quad (4)$$

Величина  $H_{i1} - H_{i2}$  согласно формуле (4) растет с ростом  $B_{tr}^{ZFC_2} - B_{tr}^{ZFC_1}$ . При этом из-за того что уменьшение объема образца за счет подавления слабых связей происходит быстрее, чем намагничивание кристаллитов (гранул), темп роста  $H_{i1} - H_{i2}$  будет опережать темп роста  $B_{tr}^{ZFC_2} - B_{tr}^{ZFC_1}$ , сохраняя закон его изменения. В разд. 4 будет приведен

<sup>1)</sup> Для YBa<sub>2</sub>Cu<sub>3</sub>O<sub>7-x</sub> при температуре 77.4 К поле  $H_{0m} \approx 22.5$  Э, а величина первого критического магнитного поля гранул  $H_{c1g} \approx 40$  Э [18].

алгоритм вычисления (для заданных величин  $H_0$  и  $B_{tr}$ ) значений  $n_{eff}$  из экспериментальной зависимости от  $H_0$ :

$$n_{eff}(B_{tr}) \equiv B_{tr}^{ZFC_2} - B_{tr}^{ZFC_1}. \quad (5)$$

Целью работы является разработка методики измерения  $n_{eff}$ , исследование влияния на  $n_{eff}$  величин  $H_0$  и  $B_{tr}$  и морфологии образца, а также выяснения роли размагничивающего фактора кристаллитов (гранул) в макроскопическом распределении магнитных полей вблизи образца и токов в образце.

## 2. ОБРАЗЦЫ И МЕТОДИКА ЭКСПЕРИМЕНТА

В связи с тем, что диапазоны и проявления эффектов размагничивания, краевого и объемного пиннинга магнитного потока во многом перекрываются, для изучения зависимости  $n_{eff}(H_0)$  и влияния на них морфологии образца проводились

1) сканирование объема образцов внешним полем [10, 15];

2) одновременное измерение отмеченных параметров в режимах FC, ZFC<sub>1</sub>, ZFC<sub>2</sub> (см. ниже);

3) изменение толщины образцов;

4) изучение «эволюции» пространственного распределения захваченного магнитного потока [10, 15].

Сравнительный анализ проводился на образцах YBa<sub>2</sub>Cu<sub>3</sub>O<sub>7-x</sub> с разными структурой, высотой краевого барьера, объемным пиннингом и размагничиванием. Квазимонокристаллические (негранулированные) и керамические образцы в форме диска диаметром 9 мм разной толщины вырезались из заготовки цилиндрической формы. Квазимонокристаллические плавленые текстурированные образцы (с ориентацией оси **c** параллельно оси цилиндра) синтезировались с помощью затравки, устанавливаемой сверху при высокой температуре [22]. Под микроскопом по периметру и на хорошо механическим образом отполированной поверхности были видны блестящие (монокристаллические) блоки размером примерно 0.11 см<sup>2</sup>, разделенные узкими включениями зеленого оттенка. Это подтверждало картографирование захваченного магнитного потока с помощью датчика Холла. Керамические образцы синтезировались по стандартной твердофазной технологии, имели относительную плотность около 95 % (за теоретическую плотность бралась величина 6.38 г · см<sup>-3</sup>) со средним размером гранул примерно 1 мкм [10]. С целью исключения неоднородности распределения кислорода на торцах по отношению к объему

торцевые поверхности образцов удалялись алмазным резцом. Температура сверхпроводящего перехода ( $T_c$ ,  $\Delta T_c$ ) измерялась индуктивным методом, при этом для поликристаллических и керамических образцов  $T_c \approx 91.5$  К, а  $\Delta T_c \approx 0.8$  К, 3.5 К, соответственно. Измерения проводились при температуре жидкого азота в стационарных магнитных полях до 1 кЭ датчиком Холла с размером рабочей области  $50 \times 50$  мкм<sup>2</sup> и чувствительностью примерно 20 мкВ · Гс<sup>-1</sup>. Установка позволяла регистрировать сигнал датчика Холла с точностью не хуже  $2.5 \cdot 10^{-6}$  Гс и перемещать датчик от центра вдоль оси  $z$  и к периферии образца. В центре на минимальном расстоянии около 200 мкм от поверхности образцов измерялись величины индукции  $B(0)$  и  $B_{tr}(0)$  (начало отсчета координаты  $z$  от величины  $z = 200$  мкм связано с толщиной токовых и холловских контактов на поверхности датчика Холла) в зависимости от  $H_0$ , нормированные осевые распределения  $B_{tr}(z)/B_{tr}^{max}(0)$  от координаты  $z$ ;  $B_{tr}(z)$  — осевая зависимость  $B_{tr}$ , измеренная для разных значений внешнего поля,  $B_{tr}^{max}(0)$  — величина максимальной плотности захваченного магнитного потока в центре на поверхности образцов. Зависимость  $B_{tr}(0)$  от  $H_0$  измерялась следующим образом.

1) Режим FC — образец в заданном поле охлаждался до температуры жидкого азота, затем внешнее поле выключалось и через 10 мин (время, достаточное для релаксации составляющей  $B_{tr}$ , связанной с вязким течением потока и процессами установления жестко укрепленной вихревой решетки) в центре на поверхности образца измерялось значение  $B_{tr}$ . Далее образец нагревался до температуры выше  $T_c$  и эксперимент повторялся для другого значения  $H_0$ .

2) Режим ZFC<sub>1</sub> — образец охлаждался до температуры жидкого азота в нулевом магнитном поле, затем подавался импульс внешнего магнитного поля и через 10 мин в центре на поверхности образца измерялось значение  $B_{tr}$ . Далее образец нагревался до температуры выше  $T_c$  и эксперимент повторялся для другого значения  $H_0$ .

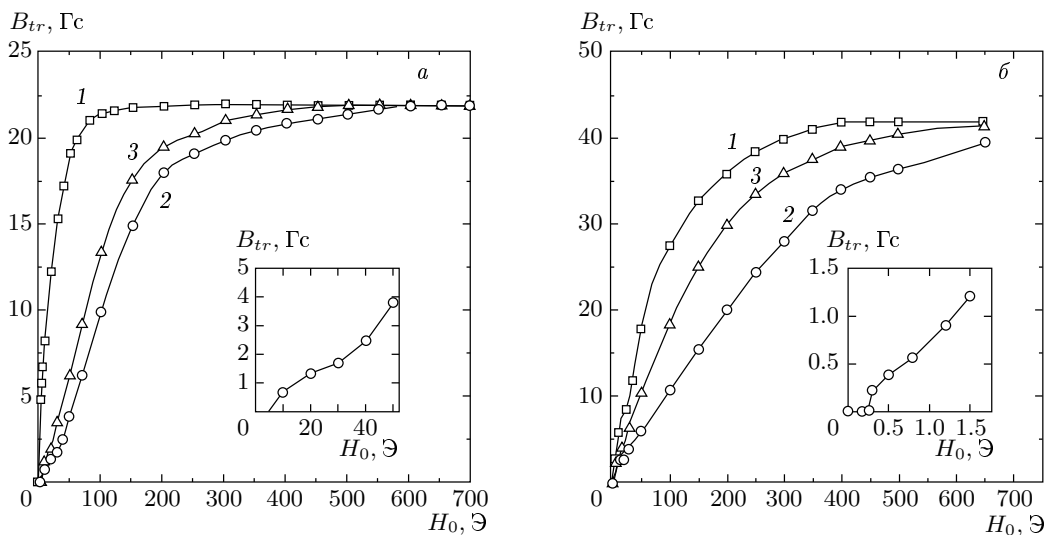
3) Режим ZFC<sub>2</sub> отличается от режима ZFC<sub>1</sub> тем, что после первоначального захвата при сохранении без изменения величины захваченного  $B_{tr}$  и без нагрева образца подавался импульс  $H_0$  следующей ступени и через 10 мин измерялось суммарное значение  $B_{tr}$  и т. д. В данном случае величина ступеней монотонно увеличивалась шаг за шагом на равные величины. Такой подход был применен с целью поэтапного разрушения слабых связей полями рассеяния захваченных в образце вихрей и по-

возможности обеспечения взаимодействия внешнего поля с раздельными кристаллитами (гранулами). Импульс внешнего магнитного поля длительностью  $\tau \geq 1$  мин был направлен перпендикулярно плоскости образцов. Для устранения влияния выбросов в области фронтов, возникающих при переключении источника питания соленоида индуктивностью больше 10 Гн, а также для преобразования импульса прямоугольной формы в трапециевидную, соленоид шунтировался конденсатором емкостью 50 мкФ. Длительность  $\tau$  задавалась в зависимости от напряжения источника. Эти меры были приняты в целях исключения влияния скорости ввода и вывода магнитного поля на намагниченность образцов [23]. Компонента поля Земли  $H_z$  компенсировалась катушкой, соосной соленоиду, задающему внешнее магнитное поле. Методика и установка подробно описаны в [15, 24].

### 3. ЭКСПЕРИМЕНТАЛЬНЫЕ РЕЗУЛЬТАТЫ

На рис. 1 приведены типичные магнитополевые зависимости  $B_{tr}(H_0)$  для поликристаллических (рис. 1a) и керамических (рис. 1б) образцов диаметром  $D = 9$  мм, толщиной  $d = 1$  мм при температуре 77.4 К в трех режимах измерения. Как видно на рис. 1 (кривые 2, вставки), для поликристаллического образца величина первого критического магнитного поля  $H_{c1} = H_0/(1 - n) \approx 14$  Э, а для керамического образца  $H_{c1} \approx 0.5$  Э. Насыщение зависимости  $B_{tr}(H_0)$  для поликристаллического образца наступает в более низких полях,  $H_0 \approx 600$  Э, чем для керамического образца,  $H_0 > 650$  Э. Для поликристаллического образца  $B_{tr}^{max}(0) \approx 22$  Гс, а для керамического  $B_{tr}^{max}(0) \approx 42$  Гс. Характеристики показывают, что поликристаллический образец имеет более узкий энергетический спектр распределения центров пиннинга, обладает высоким краевым барьером и низким объемным пиннингом по сравнению с керамическим образцом [25].

В режиме FC (кривые 1 на рис. 1) магнитные поля малой величины проникают в образец и захватываются после снятия поля. Такая ситуация аналогична случаю бесконечной пленки в перпендикулярном магнитном поле с размагничивающим фактором  $n = 1$ . В режиме ZFC<sub>1</sub> (кривые 2 на рис. 1) захват магнитного поля не влияет на  $n$ . В режиме ZFC<sub>2</sub> (кривые 3 на рис. 1) перед подачей последующей ступени магнитного поля запоминается захваченный магнитный поток от предыдущей ступени. В связи с тем, что для режимов ZFC<sub>1</sub> и ZFC<sub>2</sub> влияние краевого и объемного пиннингов вихрей на величину  $n$  можно считать примерно одинаковым, увели-



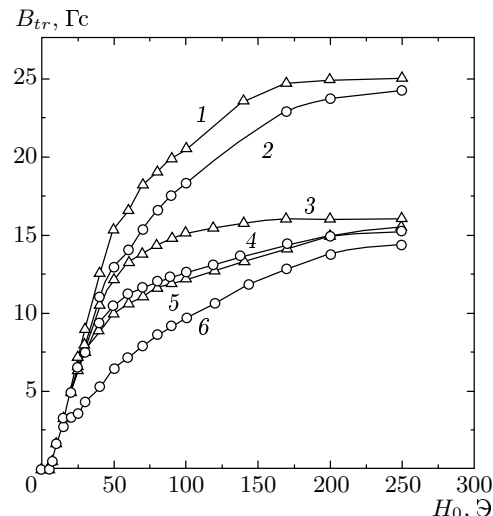
**Рис. 1.** Типичные магнитополевые зависимости плотности захваченного магнитного потока  $B_{tr}(H_0)$  для  $\text{YBa}_2\text{Cu}_3\text{O}_{7-x}$  поликристаллического (а); керамического (б) образцов диаметром  $D = 9$  мм и толщиной  $d = 1$  мм. Кривые 1 — режим FC, кривые 2 — режим ZFC<sub>1</sub>, кривые 3 — режим ZFC<sub>2</sub>. Температура 77.4 К

чение  $n_{eff}$  (смещение кривых 3 в сторону кривых 1 на рис. 1) происходит за счет роста захваченного магнитного потока. При этом, как видно на рис. 1, высокий уровень захваченного поля сильнее влияет на  $n_{eff}$  (зазор между кривыми 1, 3 для керамического образца меньше, чем для поликристаллического образца).

Для выяснения зависимости  $n_{eff}$  от структуры захваченного магнитного потока проанализируем зависимости  $B_{tr}$  и  $B_{tr}(z)/B_{tr}^{max}(0)$  от толщины  $d$  для серии образцов, измеренных в трех режимах.

На рис. 2 приведена зависимость  $B_{tr}(H_0)$  поликристаллического образца диаметром  $D = 9$  мм разной толщины  $d$ . Кривые 1, 2 соответствуют  $d = 5.7$  мм, 3, 4 —  $d = 2.2$  мм, 5, 6 —  $d = 0.7$  мм. Кривые 1, 3, 5 измерены в режиме ZFC<sub>2</sub>, а кривые 2, 4, 6 — в режиме ZFC<sub>1</sub>. Как видно на рис. 2, с уменьшением  $d$  влияние захваченного магнитного потока на  $n_{eff}$  усиливается, несмотря на снижение уровня  $B_{tr}$ . Это обстоятельство наглядно демонстрирует рис. 3а, иллюстрирующий зависимость  $n_{eff}(B_{tr}) \equiv B_{tr}^{ZFC_2} - B_{tr}^{ZFC_1}$  от  $H_0$ , полученную из рис. 2 вычитанием кривых 2 из 1 (кривая 1); 4 из 3 (кривая 2); 6 из 5 (кривая 3). На рис. 3б приведена зависимость  $n_{eff}(B_{tr}) \equiv B_{tr}^{ZFC_2} - B_{tr}^{ZFC_1}$  от  $H_0$ , полученная вычитанием кривых 2 из 3, рис. 1. Кривая 1 соответствует поликристаллическому образцу, а 2 — керамическому.

Рисунок 4 демонстрирует нормированное осевое



**Рис. 2.** Зависимости  $B_{tr}(H_0)$  для разных толщин  $d$  поликристаллического образца диаметром  $D = 9$  мм. Кривые 1, 2 —  $d = 5.7$  мм, 3, 4 —  $d = 2.2$  мм, 5, 6 —  $d = 0.7$  мм. Кривые 1, 3, 5 — режим ZFC<sub>2</sub>, кривые 2, 4, 6 — режим ZFC<sub>1</sub>. Температура 77.4 К

распределение  $B_{tr}(z)/B_{tr}^{max}(0)$  для поликристаллических образцов диаметром  $D = 9$  мм. В режиме FC распределение захваченного магнитного потока более однородно, чем в режиме ZFC<sub>2</sub>, поскольку исходно однородное внешнее поле более однородно за-

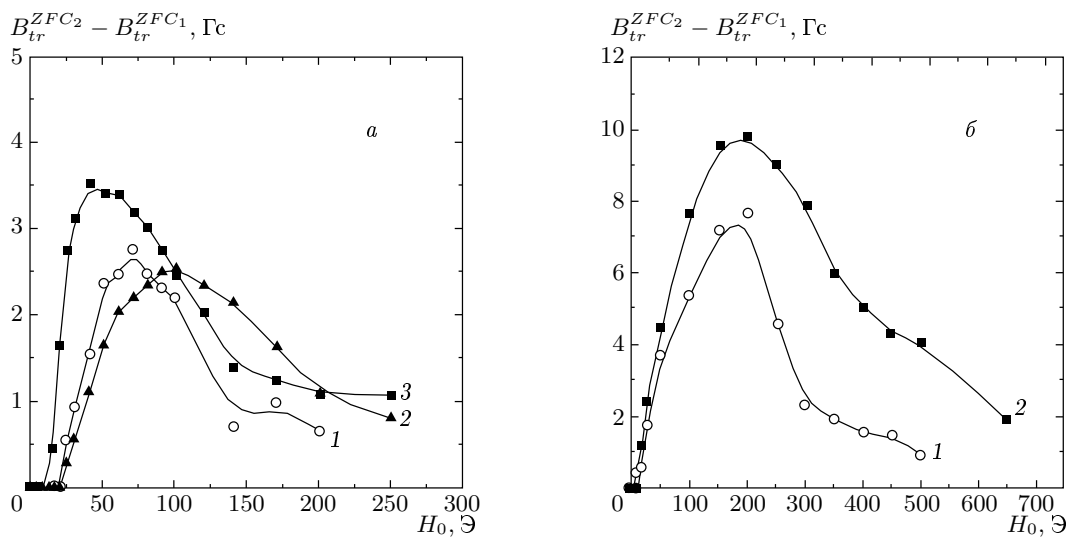


Рис. 3. Зависимости  $B_{tr}^{ZFC_2} - B_{tr}^{ZFC_1}$  от  $H_0$ . а) Кривая 1 — разность кривых 1, 2 (рис. 2), кривая 2 — разность кривых 3, 4 (рис. 2); кривая 3 — разность кривых 5, 6 (рис. 2). б) Кривая 1 — разность кривых 3, 2 (рис. 1а); кривая 2 — разность кривых 3, 2 (рис. 1б). Температура 77.4 К

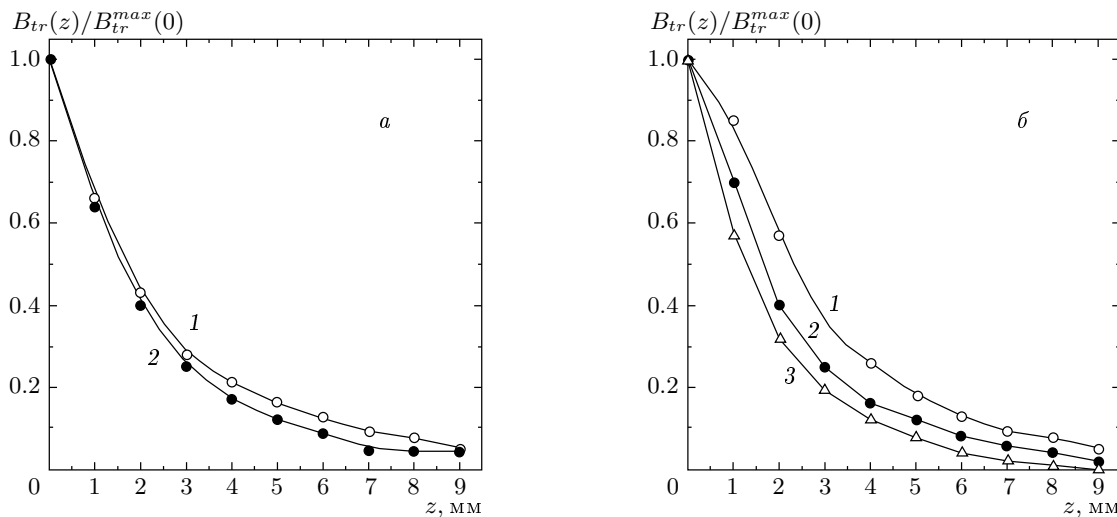


Рис. 4. Нормированное осевое распределение  $B_{tr}(z)/B_{tr}^{max}(0)$  для поликристаллических образцов диаметром  $D = 9$  мм: а) —  $d = 1$  мм, в режимах FC (кривая 1), ZFC<sub>2</sub> (кривая 2); б) режим ZFC<sub>2</sub> для различных толщин: кривая 1 —  $d = 8$  мм, 2 — 4 мм, 3 — 1 мм. Температура 77.4 К

хватывается после его снятия. Как видно на рис. 4а, в случае однородной намагниченности зависимость  $B_{tr}(z)/B_{tr}^{max}(0)$  убывает медленнее (кривая 1), чем в случае неоднородной намагниченности (кривая 2). Согласно рис. 4б (см. также рис. 3а), меняется морфология образца с уменьшением его толщины и распределение захваченного магнитного потока становится более неоднородным. Таким образом, неоднородное пространственное распределение захваченно-

го магнитного потока в образце сильнее деформирует поле вокруг него. Изменение амплитуды  $n_{eff}$ , площади под кривой зависимости  $n_{eff}(H_0)$  и смещение по оси  $H_0$  положения максимума с изменением толщины образцов (рис. 3а) связаны с изменением соотношения числа кристаллитов (гранул), различающихся размерами, формой и ориентацией по отношению к внешнему магнитному полю, а также с изменением их взаимного расположения.

Следует отметить, что аналогичные зависимости были получены и для керамических образцов.

#### 4. ОБСУЖДЕНИЕ РЕЗУЛЬТАТОВ

Для интерпретации зависимостей  $n_{eff}(H_0)$  и демонстрации усиления с помощью захваченного магнитного потока эффекта размагничивания образца или отдельных кристаллитов (гранул) и распределения поля вокруг образца воспользуемся схемой, приведенной на рис. 5. При индукции внешнего поля  $B_0 \leq B_{tr}$  внешнее поле вокруг образца компенсируется либо отдаляется от его краев (см. сплошную силовую линию на рис. 5,  $B_{tr} \neq 0$  и штриховую силовую линию,  $B_{tr} = 0$ ). Вначале разность между увеличением эффективного диаметра и толщиной образца будет расти за счет усиления взаимодействия между возрастающими полями рассеяния  $B_{tr}$  и полем  $B_0$ . При  $B_0 \geq B_{tr}$  внешнее поле подавляет поля рассеяния захваченного магнитного потока и сплошная силовая линия приближается к краям образца, сливаясь со штриховой линией. В результате зависимость  $n_{eff}(H_0)$  проходит через максимум.

Объяснение полученных результатов в более общем случае невозможно в рамках модели взаимодействующих контуров. Согласно работе [26], размер контура с захваченным магнитным потоком в поле 50 Э составляет (30–40) мкм и уменьшается с увеличением поля. Поэтому максимум зависимости

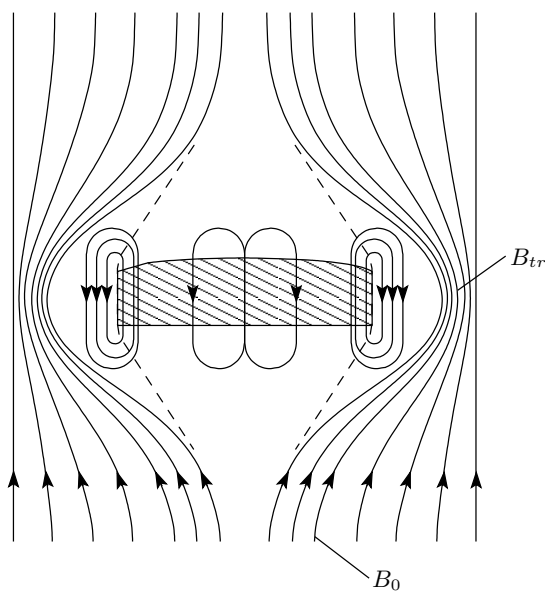


Рис. 5. Распределение силовых линий плотности захваченного магнитного потока  $B_{tr}$  и индукции  $B_0$  внешнего поля вокруг образца

$n_{eff}(H_0)$ , наблюдаемый в полях около 200 Э, можно объяснить, используя контуры гораздо меньшего размера. Учитывая то, что в поликристаллическом образце площадь кристаллитов составляет примерно  $0.11 \text{ см}^2$ , а для образования контура необходимы 2–3 кристаллита, размеры контуров должны быть весьма большими, что противоречит приведенным выше доводам.

Полученные результаты можно объяснить, исходя из следующих представлений. Как известно [27], для образца в форме сплюснутого эллипсоида вращения с малой осью  $d$  и диаметром  $D \gg d$ , находящегося во внешнем однородном поле, направленном вдоль малой оси, термодинамическое или внутреннее поле  $H_i$  и индукция  $B$  связаны с внешним полем  $H_0$  соотношением

$$(1 - n)H_i = H_0 - nB, \quad (6)$$

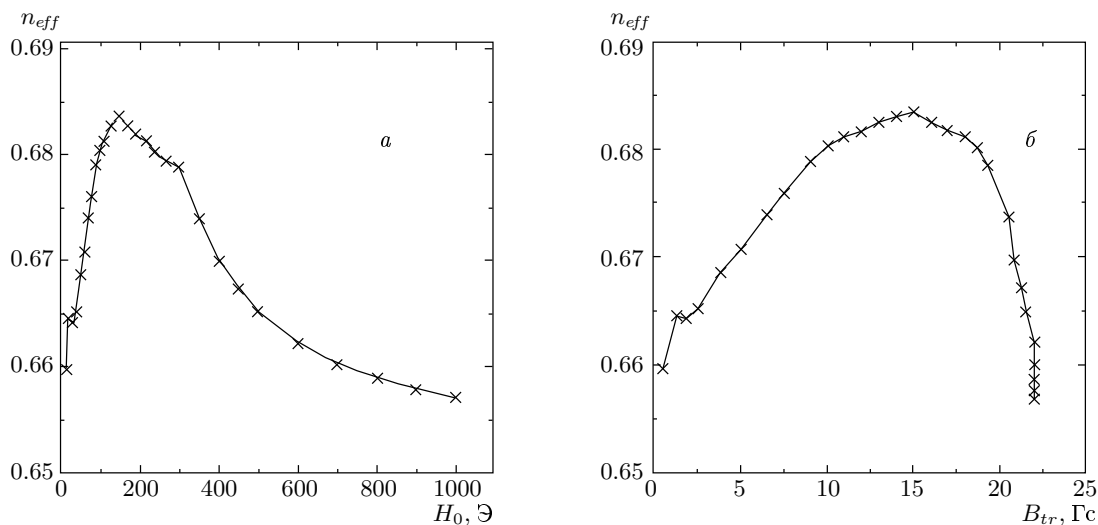
где  $n = 1 - \pi d/D$  — размагничивающий фактор в направлении поля. В смешанном состоянии для использования формулы (6) необходимо, чтобы образец состоял из однородно распределенных одинаковых магнитных моментов — диполей [10]. Такая ситуация может создаться в ВТСП-образцах в области насыщения захваченного магнитного потока, когда модель Бина ( $J_{cg} = \text{const}$ ) справедлива в пределах рассматриваемых кристаллитов (гранул) [13]. В этом случае [28] термодинамическое поле  $H_i$  зависит не только от внешнего поля  $H_0$ , но и от координаты  $y$ , а индукция  $B$  — еще и от  $B_{tr}$ . Решение уравнения (6) получено путем обработки зависимостей  $B_1(y, H_0)$  и  $B_2(y, B_{tr}, H_0)$  от  $H_0$ , измеренных в режимах ZFC<sub>1</sub> и ZFC<sub>2</sub>. Для режима ZFC<sub>1</sub> формула (6) имеет вид

$$H_i(y, H_0) = \frac{H_0 - nB_1(y, H_0)}{1 - n}. \quad (7)$$

В выражении (7) величина  $n$  фиксирует начало проникновения магнитного поля в образец, а изменение  $n$  в ходе проникновения внешнего поля в образец [29] учитывается зависимостью  $H_i$  и  $B_1$  от  $H_0$  и координаты  $y$ . Для нахождения  $n_{eff}$  в режиме ZFC<sub>2</sub> преобразуем формулу (7) к следующему виду:

$$n_{eff} = \frac{H_i(y, H_0) - H_0}{H_i(y, H_0) - B_2(y, B_{tr}, H_0)}. \quad (8)$$

На рис. 6 приведены рассчитанные по формуле (8) зависимости  $n_{eff}(H_0)$  и  $n_{eff}(B_{tr})$  для образца, описанного на рис. 1а. На рис. 3б (кривая 1) и 6а видно качественное согласие экспериментальных и расчетных кривых. Значения  $n_{eff} \approx 0.66$  (при



**Рис. 6.** Расчетная магнитополевая зависимость эффективного размагничивающего фактора образца  $n_{eff}$ : а) зависимость  $n_{eff}(H_0)$ ; б) зависимость  $n_{eff}(B_{tr})$  (образец тот же, что и на рис. 1а). Температура 77.4 К

$B_{tr} = 0$ ) и  $n_{eff} \approx 0.65$  (в диапазоне отсутствия влияния  $B_{tr}$  на  $n_{eff}$ ) совпадают со значением  $n \approx 0.65$ , определенным из геометрических размеров образца, находящегося в мейснеровском состоянии. Этот факт подтверждает результаты настоящих исследований и согласуется с ранее полученными экспериментальными результатами в том, что в плотных, почти плавленых ВТСП-образцах подавляющую часть объема занимают кристаллиты (гранулы). Согласно рис. 1 (кривые 2), плотность критического тока  $J_{cJ}$  в поликристаллическом образце примерно в 28 раз превышает величину  $J_{cg}$  в керамическом образце. Значения полей  $H_p$ , при которых их фронты достигают осей поликристаллических и керамических образцов, являются величинами одного порядка, что сильно расходится с оценками по формуле [7]

$$H_p = \frac{2\pi}{c} J_{cJ} D. \quad (9)$$

Следовательно, совпадение полей ( $H_0 \approx 200$  Т), при которых наблюдаются максимумы зависимостей  $n_{eff}(H_0)$  (рис. 3б), связаны с величиной  $J_{cg}$ , задающей примерно одинаковые эффективные токи намагничивания ( $J = cId$ ) [10, 20] в поликристаллических и керамических образцах.

Проведенный анализ показывает, что в случае различия величин  $J_{cg}$  и  $J_{cJ}$  примерно в 28 раз размагничивающий фактор в основном определяется геометрией образца, а не энергией джозефсоновской связи между кристаллитами (гранулами).

Полученные в работе результаты интерпретиро-

ваны в соответствии с приближениями, для реализации которых были выбраны ВТСП-образцы со сравнительно низкими значениями  $J_{cJ}$  и высоким значением захваченного магнитного потока в кристаллиты (гранулы). Для более качественных образцов [30, 31] уровень такого захвата недостаточен для подавления  $J_{cJ}$ . Поскольку даже в качественных ВТСП-образцах  $J_{cg} \geq 10J_{cJ}$ , в области сильных полей с учетом усиления  $H_0$  за счет концентрации поля вокруг кристаллитов (гранул) будут происходить подавление  $J_{cJ}$  и распад образца на изолированные кристаллиты (гранулы).

Итак, на основании полученных результатов характер зависимости  $n_{eff}(H_0)$  не изменяется при изменении морфологии (рис. 3а), а также параметров образцов, изначально различающихся по структуре и критическим параметрам (рис. 3б). Имея также в виду то, что ВТСП-пленки и монокристаллы являются многосвязными джозефсоновскими средами, можно полагать, что аналогичная зависимость  $n_{eff}(H_0)$  может наблюдаться как в них, так и в пространственно-неоднородных традиционных сверхпроводниках второго рода [32].

## 5. ЗАКЛЮЧЕНИЕ

Таким образом, при исследовании взаимодействия захваченного образцом магнитного потока с внешним полем демонстрируется возможность выделения и изучения динамики изменения эффек-

тивного размагничивающего фактора на примере квазимонокристаллических и гранулированных тонких дисков  $\text{YBa}_2\text{Cu}_3\text{O}_{7-x}$ . Проведен анализ влияния внешнего поля, величины и топологии захвата магнитного потока на  $n_{eff}$ . Для заданных  $B_{tr}$  и  $H_0$  измерен пространственный профиль термодинамического магнитного поля. С ростом захваченного магнитного потока обнаружен максимум зависимости  $n_{eff}(H_0)$ , качественно не меняющейся при существенном изменении морфологии образца. Показано, что в случае  $J_{cg} \geq 28J_{cJ}$  размагничивающий фактор в основном определяется геометрией образца, а не энергией джозефсоновской связи между кристаллитами (гранулами).

Полученные результаты и планируемый цикл исследования полезны в плане корректного определения таких фундаментальных величин, как первые и вторые критические магнитные поля и практически важной величины  $J_c$ , а также для уточнения существующих моделей критического состояния сверхпроводников второго рода.

Автор выражает благодарность В. Н. Губанкову за проявленный интерес, полезные обсуждения работы и ценные замечания.

## ЛИТЕРАТУРА

1. В. С. Горбачев, С. Е. Савельев, ЖЭТФ **109**, 1387 (1996).
2. А. А. Елистратов, И. Л. Максимов, ФТТ **42**, 196 (2000).
3. M. Benkraouda and J. R. Clem, Phys. Rev. B **53**, 5716 (1996).
4. E. Zeldov, A. Larkin, V. Geshkenbein et al., Phys. Rev. Lett. **73**, 1428 (1994).
5. E. Zeldov, J. R. Clem, M. Mcelfresh et al., Phys. Rev. B **49**, 9802 (1994).
6. Д. Ю. Водолазов, Письма в ЖТФ **25**, 84 (1999).
7. C. P. Bean, Rev. Mod. Phys. **36**, 31 (1964).
8. Х. Р. Ростами, *Физика электронных материалов. Материалы Международной конференции 1–4 октября 2002 г.*, Калуга, Россия, с. 402.
9. Kh. R. Rostami, *The 23<sup>rd</sup> International Conference on Low Temperature Physics LT 23*, August 20–27, 2002, Hiroshima, Japan, Program and Abstracts, p. 312.
10. X. R. Rostami, B. B. Mantorov, B. I. Omel'chenko, ФНТ **22**, 736 (1996).
11. Э. Б. Сонин, Письма в ЖЭТФ **47**, 415 (1988).
12. Н. Д. Кузмичев, Письма в ЖЭТФ **74**, 291 (2001).
13. Е. Е. Кокорина, М. В. Медведев, СФХТ **7**, 1127, 1136 (1994); **8**, 533, 551 (1995).
14. М. П. Петров, М. В. Красинькова, Ю. И. Кузьмин и др., ФТТ **32**, 379 (1990).
15. X. R. Rostami, ФНТ **27**, 103 (2001).
16. J. R. Clem, Physica C **153–155**, 50 (1988).
17. В. А. Каширников, И. А. Руднев, М. В. Зюбин, ЖЭТФ **121**, 442 (2002).
18. H. Dersch and G. Blatter, Phys. Rev. B **38**, 11391 (1988).
19. D. D. Stancil, T. E. Schlesinger, A. K. Stamper et al., J. Appl. Phys. **64**, 5899 (1988).
20. И. Е. Тамм, *Основы теории электричества*, Наука, Москва (1989).
21. Э. А. Линтон, *Сверхпроводимость*, Мир, Москва, (1964).
22. И. Ф. Волошин, А. В. Калинов, Л. М. Фишер и др., ЖЭТФ **120**, 1273 (2001).
23. С. А. Иванов, В. И. Кулаков, Р. К. Николаев и др., ФТТ **33**, 1387 (1991).
24. X. R. Rostami, ПТЭ № 6, 95 (2004).
25. В. Н. Губанков, Х. Р. Ростами, ФТТ **43**, 1168 (2001).
26. Kh. R. Rostami, A. A. Sukhanov, and V. V. Mantorov, Supercond. Sci. Technol. **9**, 736 (1996).
27. А. А. Абрикосов, *Основы теории металлов*, Наука, Москва (1987), с. 384.
28. В. Г. Антонов, Л. М. Петров, А. П. Щелкин, *Средства измерений магнитных параметров материалов*, Энергоатомиздат, Ленинград (1986), с. 76.
29. V. M. Krasnov, V. A. Larkin, and V. V. Ryazanov, Physica C **174**, 440 (1991).
30. A. S. Mel'nikov, Yu. N. Nozdrin, I. D. Tokman et al., Phys. Rev. B **58**, 11672 (1998).
31. С. А. Позигун, В. М. Пан, В. А. Алексеев и др., УФМ **5**, 167 (2004).
32. Л. Б. Иоффе, А. И. Ларкин, ЖЭТФ **81**, 707 (1981).